

基于变长 Turbo 码的低复杂度联合信源信道译码*

陈绍宏^{1†}, 张 灿^{1,2}, 涂国防¹, 霍岳恒¹

(1 中国科学院研究生院信息科学与工程学院, 北京 100049;

2 中国科学院研究生院信息安全国家重点实验室, 北京 100049)

(2010 年 4 月 26 日收稿; 2010 年 5 月 10 日收修稿稿)

Chen S H, Zhang C, Tu G F, et al. Low-complexity joint source-channel decoding based on variable length encoded Turbo codes[J]. Journal of the Graduate School of the Chinese Academy of Sciences, 2011, 28(2): 246 – 252.

摘 要 基于变长 Turbo 码的联合信源信道译码通过构造联合译码平面网格图, 具有比比特级译码更好的性能. 但平面网格图复杂, 使变长 Turbo 码译码复杂度高. 基于此, 构造了一个空间网格图, 提出基于变长 Turbo 码的低复杂度联合信源信道译码方法. 仿真结果表明, 该算法比平面网格图计算复杂度减少约 3.8%, 在 SER(symbol error ratio) 为 10^{-4} 时, 获得 E_b/N_0 增益约为 0.2dB.

关键词 联合信源信道编译码, 变长 Turbo 码, 空间网格图, VLS – APP

中图分类号 TN911.2

联合信源信道编译码技术是近年来研究的热点课题之一, 现存的信源编码和信道编码是根据 Shannon 编码的分离理论, 信源和信道编码可以分别设计, 局部最优化使编码总体性能达到最优. 分离理论假设前提是 1) 无论信源编码还是信道编码假定可以容忍无限长的时延; 2) 预先掌握传输信道的统计特性.

在资源受限的空间通信中, 上述 2 个假设条件难以满足. 例如图像与视频信号是一种对时延相当敏感的实时业务, 不可能使用过长的编码块; 深空通信的特殊环境, 存在可变延时和随机衰减效应, 预先不能掌握信道的统计特性. 因此, R. Bauer 和 J. Hagenauer 等人^[1-2]通过改善经典的 BCJR(Bahl-Cocke-Jelinek-Ravic)算法^[3], 提出基于 5 符号信源的符号级 VLC(variable length codes)网格图的最大后验概率译码算法 MAP(maximum a posteriori probability), 实现了 5 符号变长码的符号级译码. R. Thobaben 和 J. Kliewer^[4]提出基于变长码与卷积码并行级联编码结构的迭代译码算法, 改善了符号级译码算法的性能. R. Thobaben 和 J. Kliewer^[5-6]进一步研究了一阶 Markov 信源情况下的低复杂度的符号级联合译码算法, 取得了译码复杂度和性能的折衷. 由于上述符号级译码算法复杂度都较高, 只适用于短数据包, 因此 R. Bauer 和 J. Hagenauer^[7]进一步研究了适用于长数据包的基于比特级 VLC 网格图的迭代译码算法, 在损失一定译码性能下, 降低了比特级译码复杂度.

Turbo 码编码器最初由 2 个二进制卷积码并行级联组成, 在每一时刻仅对一个单独的比特进行编码, 输出一个 n 比特码字, 即码率 $R = 1/n$. 在接收端, 采用比特级网格图, 用最大后验概率准则, 对分量译码器输出的对数似然比 LLR(logarithm likelihood ratio)进行判决, 得到译码结果. 研究结果表明, 这种经典编码结构结合二进制相移键控调制方法, 有接近香农限的优异性能. 因此, 学者们研究变长码与

* 国家自然科学基金(61032006, 60773137, 60972067)和国家专用项目(2069901)资助

E-mail: chenshaoh07@ mails.ucas.ac.cn

Turbo 码的联合译码算法.

L. Guivarch 和 M. Jeanne 等^[8-9]利用 huffman 码字之间的比特转移概率作为 Turbo 码第一个分量码译码的先验信息,提出了可变长码和 Turbo 码的联合译码算法,由于译码没有充分利用剩余信源冗余,复杂度较高.

现存的基于 Turbo 码的联合译码方法大都是利用传统的信源信道分离编码模型,仅在接收端利用信源的剩余冗余实现联合信源信道译码,并且后验概率译码算法是基于比特级网格图进行译码的.事实上,变长编码器输出的二进制序列是由若干不同长度的 VLC 码字符号级联组成的,若以 VLC 码字符号作为译码的处理单元,更加符合信源统计的先验知识,有助于改善译码性能.基于此思考,J. Liu 和 G. Tu 等人^[10]提出了可变长 Turbo 编译码方法.但是,该方法采用平面网格图,计算复杂度较高.为减少计算复杂度,本文建立了基于变长 Turbo 码的空间网格图,提出基于变长 Turbo 码的低复杂度联合信源信道译码方法,减少了计算复杂度,同时改善了译码的性能.

1 基于变长 Turbo 码的联合信源信道编译码

1.1 变长 Turbo 码的编码

J. Liu 和 G. Tu 等人^[10]研究了基于变长 Turbo 码的联合信源信道编译码方法,可变长 Turbo 码的编码框图如图 1 所示.在编码器端,采用一种新的混合级联编码结构,将信源可变长编码器与 Turbo 码的第 1 个分量码 RSC1(recursive systematic convolutional codes)串行级联作为联合编码器的水平分量码,再通过量化器 Q 和交织器 Π 并联 Turbo 码的第 2 个分量码(RSC2)作为联合编码器的垂直分量码.

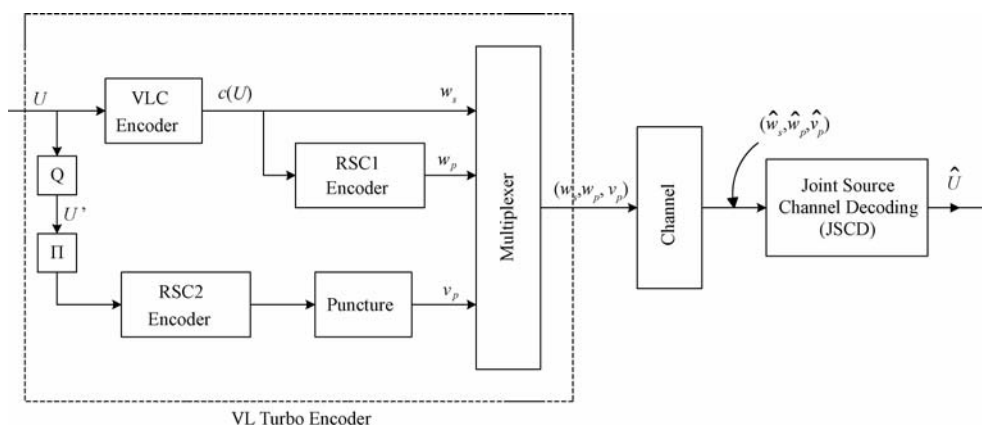


图 1 可变长 Turbo 码的编码

图 1 中设 2 个分量码 RSC1、RSC2 的生成多项式分别为 $G_1 = [3, 1]_8$ 和 $G_2 = [11, 12]_8$. 删余器 (puncture) 根据信道变化对第二路分量码删余信息位,保留校验位,则 2 个分量码的码率分别为 $R_{c1} = 1/2$ 和 $R_{c2} = 1$. 交织器 Π 采用随机交织器^[2]. 在编码端,以 K 个符号为一个数据包编码,以 λ 个数据包为单位交织,量化器 Q 以一个符号 2bit 量化,则交织器长度 $N = K \times Q \times \lambda$. 使用表 1 所示的信源集合 X (表 1 中的 1~4 列给出了信源集合 X 的基本信息: X 包含的符号、每个符号出现的概率、相应的 huffman 码的码字长度),则整个变长 Turbo 码系统的码率为

$$R_v = \frac{H(X)}{l_{av}/R_{c1} + Q/R_{c2}} \approx 0.32,$$

其中,信源熵 $H(X) = 1.78$,平均码长 $l_{av} = 1.79$,每个符号量化 $Q = 2\text{bit}$.

(本文后续的所有例子,包括各个网格图和仿真实验,都以 X 作为信源集合)

表 1 信源集合 X 及其基本信息

X	概率	huffman 码字	l_i	φ_i
a	0.49	0	1	0
b	0.17	111	3	2
c	0.23	10	2	1
d	0.11	110	3	3
熵 $H(X) = 1.78$ 平均码长 $l_{av} = 1.79$				

1.2 基于变长 Turbo 码的联合信源信道译码

变长 Turbo 码联合译码框图如图 2 所示. 联合译码将信源 VLC 模块和第 1 个分量编码器 RSC1 看成一个整体, 联合译码只需要采用 2 个软输入/软输出 SISO (soft-input soft-output) 模块进行迭代译码. 其中一个 SISO 模块对应信源 VLC 编码和 RSC1 的联合译码, 采用可变长符号级的 MAP 译码算法进行译码; 而另一个 SISO 模块对应变长 Turbo 编码器的第 2 个分量编码器 RSC2, 采用传统的比特级 MAP 译码

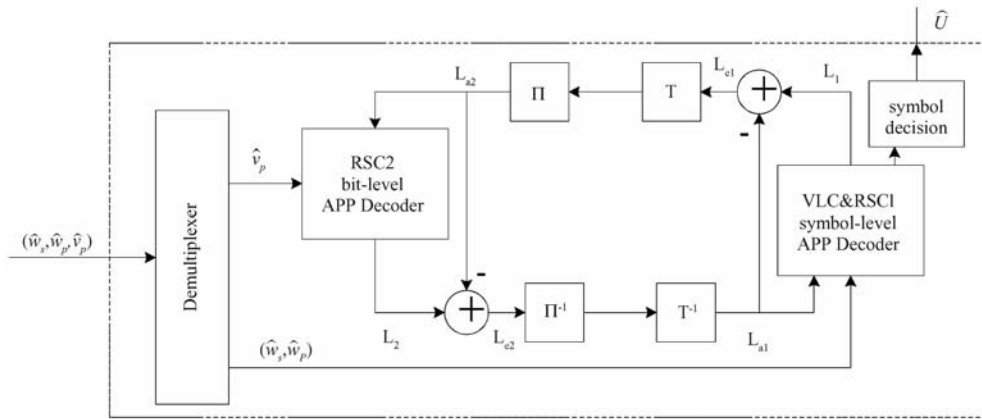


图 2 变长 Turbo 码的联合译码框图

算法. 迭代译码过程在 2 个 SISO 模块之间交换外信息 L (如图 2 所示). 联合译码的过程如下: 译码端接收到 $(\hat{w}_s, \hat{w}_p$ 和 $\hat{v}_p)$ 序列后, 分离为 \hat{w}_s, \hat{w}_p 和 \hat{v}_p 二路, RSC2 的分量译码器首先利用校验序列 \hat{v}_p 和比特先验信息 L_{a2} 进行比特级译码, 得到比特级对数似然比 L_2 . 对数似然比 L_2 减去先验信息 L_{a2} . RSC1 的分量译码器利用符号先验信息 L_{a1} 和信道接收序列 \hat{w}_s 和 \hat{w}_p 进行变长符号级后验概率 VLS-APP (Variable length symbol-a posteriori probability) 译码. 通过若干迭代后, 对译码输出的符号对数似然比进行符号判决, 就可以得到编码符号的最优估计. 符号级联合译码的最优估计是依据联合译码的迭代译码网格图, 减少译码的计算复杂度.

1.3 可变长 Turbo 码的空间网格图

R. Bauer 和 J. Hagenauer 采用 4 个符号序列 $U = \{a, b, b, c\}$ (其中 X 表示信源集合, $u_i \in X, X = \{a = 0, b = 111, c = 10, d = 110\}$), 用横坐标索引 k 表示编码的符号个数, 纵坐标索引 n 表示 VLC 序列的累计比特长度, 建立了 4 符号的变长译码网格图 (如图 3 所示), 利用可变长符号的先验知识, 提出了可变长联合信源信道迭代译码算法^[1].

为了简化符号级变长译码网格图和符号的储存空间, 经数学变换

$$v = n - k \cdot l_{\min} \tag{1}$$

其中 $l_{\min} = \min \{l_i | i \in X\}$, 将 k 和 n 索引表示的 VLC KN 网格图 (图 3) 变换为 k 和 v 索引表示的 VLC KV 网格图 (图 4 所示). 用图 4 中的降维状态变量 v 代替图 3 中的高维状态变量 n . 在具有相同计算复杂度 (相同搜索路径) 时, 简化了网格图和储存空间.

变长 Turbo 码的符号级译码是由反馈系统卷积码 RSC 构成. 图 5 表示生成多项式为 $G = [3, 1]_8$ 的反馈系统卷积码的符号级网格图, 它由卷积码的比特级网格图在时间轴上扩展生成^[10]. 图中的状态 $S_i (i = 0, 1)$ 表示卷积码中寄存器的状态, 路径分支表示状态之间的转移情况. 当寄存器初始状态为 S_1 时经输入 X 中的符号 c 后将转移到 S_0 状态, 且卷积码相应的输出码字为 1100.

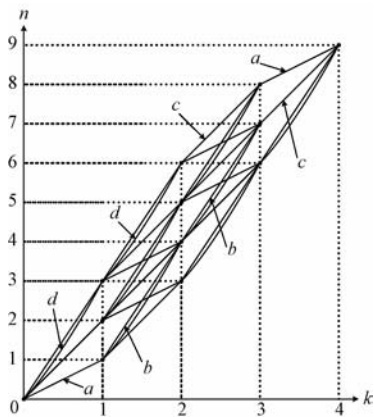


图 3 符号级 VLC KN 网格图

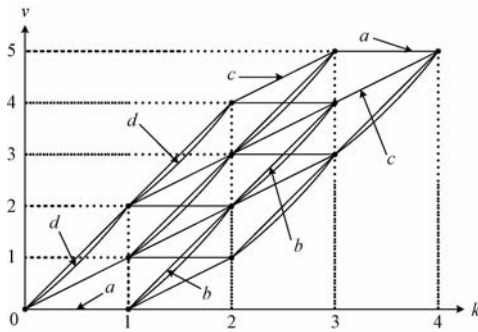


图 4 符号级 VLC KV 网格图

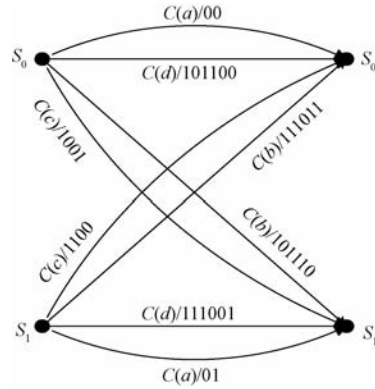


图 5 2 状态 RSC 网格图

J. Liu 和 G. Tu 等^[10]首先将符号级 VLC KV 网格图(图 4 所示)与状态 RSC 网格图联合构造了一种 $K=4$ 个符号 (a, b, c, d) , $V=5$ 的复合状态表示的可变长符号的联合信源信道的译码平面网格图(如图 6 所示)。

复合状态联合平面网格图中的复合状态 t 由 KV 网格图中的状态 v 和卷积码网格图中的状态 S_i 复合而成,图 6 中任意 2 个节点之间的状态转移,不仅对应着信源集合 X 中的一个变长码字,同时也对应着相应的卷积码网格图中的状态转移,在译码端实现了变长码字和卷积码状态之间的同步.当联合平面网格图的状态从节点 A 转移到节点 B 时,表示输入了一个码字长度为 $l_i = v_i + l_{\min} = v_B - v_A + 1 = 3$ 且使卷积码状态从 S_0 转移到 S_1 的信源符号,即符号 b .

复合状态联合平面网格图随着符号数 K 的增加,译码平面网格图的竞争路径增加,计算复杂度增加.为减少计算复杂度,本文构造了一种基于变长 Turbo 码的空间网格图。

在符号级变长 Turbo 码联合编码端,为每个不同的

信源符号赋予不同的权重 ϕ_i ,变长 Turbo 码编码后码流序列有 3 个约束条件:累计符号数、累计比特数和累计符号权重.在译码端利用 3 个约束条件构建空间(三维)网格图.利用权重状态索引条件,空间网格图的路径总数比平面网格图路径减少,从而简化了联合译码的计算复杂度。

建立空间网格图的步骤如下:

- I 当图 3 中的横坐标表示符号个数索引时,编码 U 后得到累计符号个数 K .
- II 当图 3 中的纵坐标表示比特个数索引时,编码 U 后得到累计比特个数 $\text{bit}N$,则有

$$\sum_{k=1}^K l_{u_k} = \text{bit}N, \tag{2}$$

其中, l_{u_k} 为符号 u_k 对应的变长码字长度。

- III 设 U 中的每个符号 u_k 赋予一个权重 ϕ_{u_k} ,编码 U 后得到累计权重 ϕ ,则有

$$\sum_{k=1}^K \phi_{u_k} = \phi. \tag{3}$$

条件 III 等价于在原来 VLC KN 平面网格图的基础上增加一个新的坐标轴,即增加了符号权重索引.如编

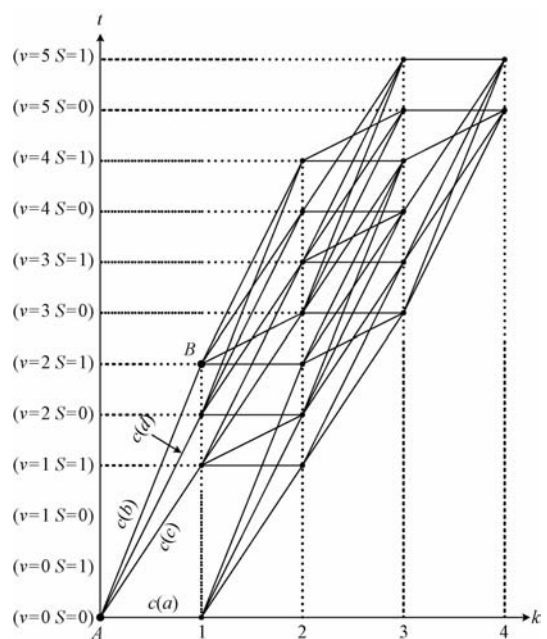


图 6 复合状态联合平面网格图

码 4 符号序列 $U = \{a, b, b, c\}$ 后, 由约束条件 I、II 和 III 可得 $K = 4, \text{bit}N = 9, \phi = 5$ (符号权重 ϕ_{u_k} 的设置参见表 1 的最后一列), 得到如图 7 所示的空间网格图. 在图 7 的纵坐标表示中, 本文采用式 (1) 的方法以变量 v 代替变量 n , 用 V 代替累计比特个数 $\text{bit}N$. 其中 $V = \text{bit}N - K \cdot l_{\min}$.

图 7 中的幸存路径表示编码所有可能的 4 符号序列, 最后得到 9bit 码字且累计权重为 5. 其中点 ($K = 4, V = 5, \phi = 5$) (或点 ($K = 4, \text{bit}N = 9, \phi = 5$)) 决定了路径终点 T 的位置, 空间网格图中的所有幸存路径都从原点出发, 最终汇聚到点 T , 即满足约束条件 I、II、III 的幸存路径都终止于点 T . 图 8 表示只有条件 I 和 II 约束下的空间网格图. 图 8 中所有幸存路径的终点都在直线 ($K = 4, V = 5, \phi$) (ϕ 任意) 上. 从图 7 和图 8 路径可以看出在增加约束条件 III 的情况下, 空间网格图中的幸存路径明显减少. 例如在图 8 中满足条件 I 和 II 的路径 $U' = \{d, d, c, a\}$ 存在, 但由于路径 U' 不满足条件 III (满足条件 III 应有 $\phi = 5$), 因此不会出现在图 7 中, 这样就降低了译码的计算复杂度.

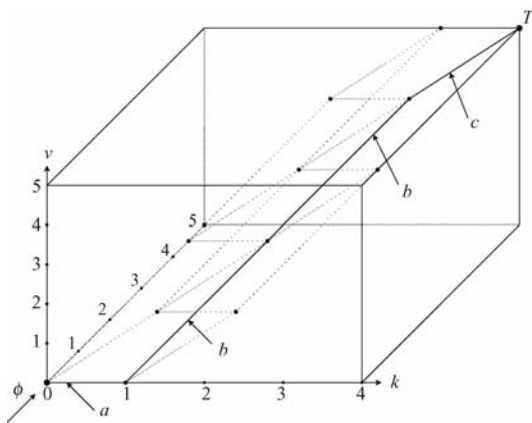


图 7 空间 VLC 网格图

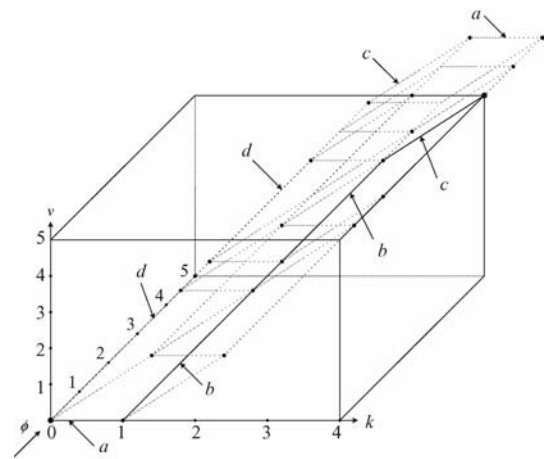


图 8 2 个约束条件下的空间网格图

2 实验结果与分析

仿真实验在 Pentium (R)₄ 个人计算机上进行, 采用 BPSK 调制方式和高斯信道 (AWGN), 变长 Turbo 码的编译码如图 1 和图 2 所示. 实验符号序列参数如表 1 所示, 符号量化 $Q\{X: a, b, c, d\} = \{00, 01, 10, 11\}$.

实验中每比特信号能量和噪声功率谱密度的比值 E_b/N_0 (E_b 为比特的平均能量, N_0 为单边噪声功率谱密度) 由下式确定

$$E_b/N_0 = \text{SNR} - 10 \log_{10} R, \quad (4)$$

其中, SNR 为高斯信道的信噪比, R 为系统码率, E_b/N_0 和 SNR 的单位都是 dB.

实验中符号错误率 SER 根据 Levenshtein 距离^[12]来计算. 设发送序列为 U_i , 包含 $\|U_i\|$ 个符号, 接收序列为 U_r , 包含 $\|U_r\|$ 个符号, 则 U_i 和 U_r 之间的 Levenshtein 距离定义为将序列 U_i 转换为序列 U_r 所需要的插入、删除或置换操作的最小次数, 记为 $d_L(U_i, U_r)$. 则符号错误率

$$\text{SER} = \frac{d_L(U_i, U_r)}{\|U_i\|}. \quad (5)$$

按照文献 [4, 7, 10] 的方法, 实验中假设参数 $\text{bit}N$ 和 ϕ 能无差错地传到接收端, 数据包长度 K 固定为 10 或 16.

为了比较本文方法与文献 [10] 方法的计算复杂度, 设联合空间网格图路径分支数为 B_1 , 文献 [10] 的联合平面网格图路径分支数为 B_2 , 则 VLS-APP 算法在 2 种网格图中减少的相对计算量定义为 $\Delta d =$

$(B_2 - B_1)/B_2$.

当数据包长度 $K = 10$, 交织长度 $N = 500\text{bit}$, 迭代译码 4 次. 在不同的 E_b/N_0 时, 实验结果如表 2 所示.

实验结果表明: 本文联合空间网格图与文献 [10] 的平面网格图相比, 路径分支总量减少约 8.6% ~ 9.0%.

表 2 本文方法与文献 [10] 方法的计算量比较 ($K = 10, N = 500\text{bit}$)

总符号数 E_b/N_0	10×10000			
	0dB	1dB	1.5dB	3dB
B_1	2730042	2720989	2740540	2728324
B_2	3000641	2985331	3000529	2989072
Δd	9.02%	8.85%	8.66%	8.72%

为了比较长数据包的计算复杂度, 本文采用 $K = 16$, 符号量化 $Q = 2$, 每次使用 32 个包进行交织, 交织器长度 $N = 1024\text{bit}$, 迭代译码 6 次. 在不同的 E_b/N_0 时, 实验结果如表 3 所示.

表 3 本文方法与文献 [10] 方法的计算量比较 ($K = 16, N = 1024\text{bit}$)

总符号数 E_b/N_0	10×6400			
	2dB	3dB	3.5dB	4dB
B_1	5206234	5222940	5219930	5210393
B_2	5418984	5426170	5426375	5419879
Δd	3.93%	3.75%	3.80%	3.87%

表 3 实验结果表明: 本文的联合空间网格图与文献 [10] 的平面网格图相比, 路径分支总量减少约 3.8% ~ 3.9%. 表 2 的实验结果与表 3 的实验结果相比较, 可知数据包越长, 路径分支总量减少越少.

为了比较在相同符号错误率 SER 下, 每 bit 信号能量和噪声功率谱密度的比值 E_b/N_0 的性能, 比较了本文基于空间网格图与基于平面网格图^[10]方法以及分离系统比特级编译码方法的译码性能.

当符号长度 $K = 10$, 交织长度 $N = 500\text{bit}$, 迭代译码 10 次时, 3 种方法实验结果如图 9 所示. 实验结果表明: 在 $\text{SER} = 10^{-4}$ 时, 本文基于空间网格图方法与文献 [10] 的基于平面网格图方法相比, 获得 E_b/N_0 增益为 0.9dB; 与文献 [11] 的分离系统的比特级方法相比获得 E_b/N_0 增益为 1.2dB.

当符号长度 $K = 16$, 交织长度 $N = 1024\text{bit}$, 迭代译码 16 次时, 3 种方法实验结果如图 10 所示. 本文基于空间网格图方法与文献 [10] 的基于平面网格图方法相比, 获得 E_b/N_0 增益为 0.2dB; 与文献 [11] 的分离系统的比特级方法相比, E_b/N_0 增加大约 1.6dB.

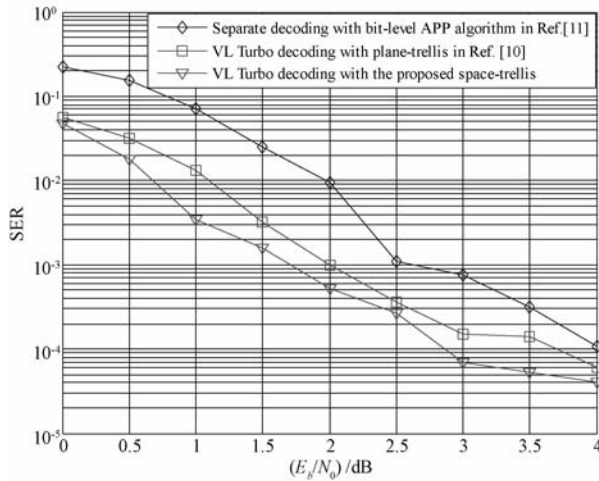


图 9 3 种方案的 SER 性能比较 ($K = 10, N = 500\text{bit}$)

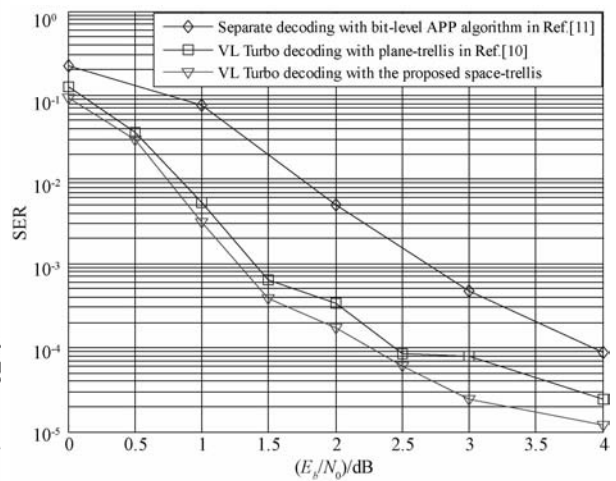


图 10 3 种方案的 SER 性能比较 ($K = 16, N = 1024\text{bit}$)

3 结论

本文构造了一种新的变长 Turbo 码译码的空间网格图,提出了基于 Turbo 码的低复杂度联合信源信道译码方法.实验结果表明:该算法同现存的基于变长 Turbo 码平面网格图比较,路径分支减少了大约 3.8%;在 $SER = 10^{-4}$ 时,获得 E_b/N_0 增益约为 0.2dB,可应用于资源受限的空间通信网中的联合编译码.

参考文献

- [1] Bauer R, Hagenauer J. Iterative source/channel decoding using reversible variable length codes [C] // Proc IEEE Data Compression Conference (DCC'00). Snowbird, Utah, USA, 2000: 93-102.
- [2] Bauer R, Hagenauer J. Symbol-by-symbol MAP decoding of variable length codes. [C] // Proc 3rd ITG Conference on Source and Channel Coding (CSCC'00). Munich, Germany, 2000:111-116.
- [3] Bahl LR, Cocke J, Jelinek F, et al. Optimal decoding of linear codes for minimizing symbol error rate [J]. IEEE Trans Inf Theo, 1974, 20(2): 284-287.
- [4] Kliewer J, Thobaben R. Parallel concatenated joint source-channel coding [J]. Electron Lett, 2003, 39(23): 1664-1666.
- [5] Kliewer J, Thobaben R. Iterative joint source-channel decoding of variable-length codes using residual source redundancy [J]. IEEE Trans Wire Commun, 2005, 4(3): 919-929.
- [6] Thobaben R, Kliewer J. Low-complexity iterative joint source-channel decoding for variable-length encoded Markov sources [J]. IEEE Trans Commun, 2005, 53(12): 2054-2064.
- [7] Bauer R, Hagenauer J. On variable length codes for iterative source/channel decoding [C] // Proc IEEE Data Compression Conference (DCC'01). Snowbird, Utah, USA, 2001:273-282.
- [8] Guivarch L, Carlach J C, Siohan P. Joint source-channel soft decoding of huffman codes with turbo codes [C] // Proc DCC'00, Snowbird, Utah, USA, 2000:83-92.
- [9] Jeanne M, Carlach J C, Siohan P. Joint source-channel decoding of variable length codes for convolutional codes and turbo codes [J]. IEEE Trans Commun, 2005, 53(1): 10-15.
- [10] Liu J J, Tu G F, Zhang C, et al. Joint source and channel decoding for variable length encoded turbo codes [J]. EURASIP J Advances in Signal Processing, 2008(1): .
- [11] Lakovic K, Villasenor J. Combining variable-length codes and turbo codes [C] // Proc IEEE 55th Vehicular Technology Conference (VTC'02). 2002, 4: 1719-1723.
- [12] Okuda T, Tanaka E, Kasai T. A method for the correction of garbled words based on the Levenshtein metric [J]. IEEE Trans Comp, 1976, 25(2): 172-178.

Low-complexity joint source-channel decoding based on variable length encoded Turbo codes

CHEN Shao-Hong¹, ZHANG Can^{1,2}, TU Guo-Fang¹, HUO Yue-Heng¹

(1 School of Information Science and Engineering, Graduate University, Chinese Academy of Sciences, Beijing 100049, China;

2 State Key Laboratory of Information Security, Beijing 100049, China)

Abstract Variable length encoded Turbo codes (VL Turbo codes) with constructed joint decoding plane trellis has better decoding performance than the bit-level decoding algorithm. However the plane trellis is complicated, resulting in a high decoding complexity of VL Turbo codes. We construct a space trellis and propose a low-complexity JSCD approach based on VL Turbo codes. Simulation results show that the proposed approach reduces the decoding complexity by 3.8%, compared to the plane trellis, and the gain of E_b/N_0 is about 0.2dB at $SER = 10^{-4}$.

Key words JSCC/D, VL Turbo codes, space trellis, VLS-APP